
НЕРАЗРУШАЮЩИЙ КОНТРОЛЬ

УДК 534.6.08

И. Ю. КИНЖАГУЛОВ

МОДЕЛЬ ТЕРМООПТИЧЕСКОГО ВОЗБУЖДЕНИЯ УЛЬТРАЗВУКОВЫХ ВОЛН В ПАЯНЫХ ТОНКОСТЕННЫХ ИЗДЕЛИЯХ

Представлена теоретическая модель возбуждения и распространения ультразвуковых волн, возбуждаемых при помощи термооптического эффекта, который достигается за счет поглощения импульсного лазерного излучения объектом контроля — паяным тонкостенным изделием ракетно-космической техники.

Ключевые слова: ультразвуковая волна, термооптический эффект, лазерное излучение, неразрушающий контроль, пайка.

Одно из направлений развития ракетно-космической техники (РКТ) — внедрение новых технологий неразрушающего контроля (НК) сложных соединений: вакуумно-компрессионная пайка тонкостенных изделий. Сложность разработки таких технологий обусловлена конструктивными особенностями изделий РКТ, а также определяется максимально допустимыми размерами неспая (непропая) и физическими ограничениями традиционных видов и методов НК паяных соединений.

Решить перечисленные задачи возможно с помощью метода лазерно-ультразвуковой дефектоскопии, основанного на термооптическом возбуждении ультразвуковых волн. Теоретическая модель данного возбуждения и распространения ультразвуковых волн представлена в настоящей работе.

В большинстве задач лазерно-ультразвуковой дефектоскопии возбуждение ультразвуковых импульсов происходит за счет абсорбции импульсного лазерного излучения: оптико-акустический (ОА) сигнал возбуждается непосредственно в исследуемой среде либо вне ее — в ОА-генераторах ультразвука [1, 2]. В первом случае параметры исследуемой среды находятся по форме возбуждаемого в ней акустического импульса. Во втором диагностика осуществляется на основании анализа трансформации ультразвукового сигнала при его распространении в исследуемой среде.

Термооптические источники ультразвука и их передаточные функции. Форма акустического импульса при термооптическом возбуждении определяется как характеристиками среды — коэффициентом поглощения света, скоростью звука, так и параметрами лазерного излучения — длительностью импульса и диаметром пятна. Основная задача состоит в том, чтобы определить влияние формы лазерного импульса и свойств среды на профиль акустического сигнала. Это может быть сделано с помощью метода передаточных функций.

Пусть из прозрачной среды на границу раздела (плоскость XU) с поглощающей средой попадает лазерный импульс с интенсивностью $I=I_0f(t)g(x,y)$, где $f(t)$ и $g(x,y)$ описывают соответственно временную и пространственную форму импульса. Ось z направлена в глубь поглощающей среды (рис. 1).

За счет неоднородного нагрева при поглощении лазерного излучения среда расширяется, и в ней возникает импульс давления, который в одномерном приближении описывается формулой:

$$p'(\tau) = \frac{I_0}{2\pi} \int_{-\infty}^{\infty} \tilde{f}(\omega) K(\omega) e^{-i\omega\tau} d\omega, \quad (1)$$

где $\tau = t - z/V_{\text{п}}$ — время в сопровождающей системе координат, $V_{\text{п}}$ — фазовая скорость продольных звуковых волн в поглощающей среде, $I_0 \tilde{f}(\omega)$ — частотный спектр огибающей интенсивности лазерного импульса, $K(\omega)$ — передаточная функция термооптического преобразователя.

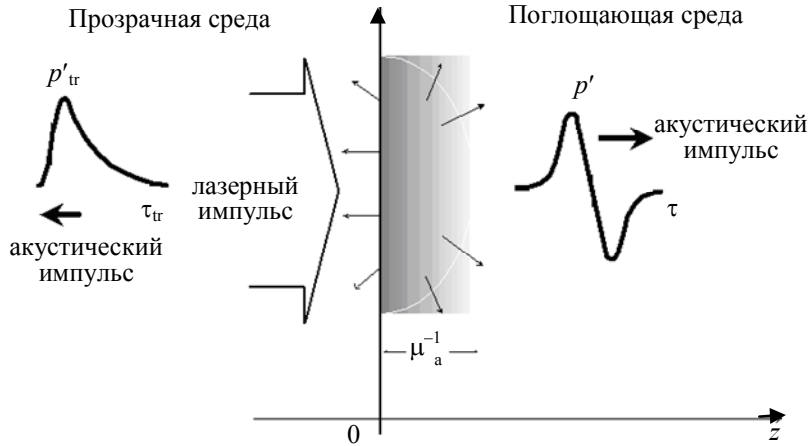


Рис. 1

Таким образом, спектр $p(\omega)$ импульса давления, возникающего в поглощающей среде за счет термооптического преобразования, есть произведение спектра огибающей интенсивности лазерного импульса $I_0 \tilde{f}(\omega)$ и передаточной функции $K(\omega)$:

$$p(\omega) = I_0 \tilde{f}(\omega) K(\omega). \quad (2)$$

Фактически задача оптоакустики сводится к определению передаточной функции термооптического преобразователя, зависящей от параметров поглощающей среды и условий на границе, и в случае однородно поглощающей среды:

$$K(\omega) = \frac{V_{\text{п}} \beta^*}{c_{\text{т}} (1 + N)} \frac{1}{1 + i\omega/\omega_{\text{т}}} \left\{ \frac{i\omega}{\omega_{\text{т}}} \frac{1 - iN \frac{\omega}{\omega_{\text{а}}}}{1 + \left[\frac{\omega}{\omega_{\text{а}}} \right]^2} + \sqrt{\frac{i\omega}{\omega_{\text{т}}} \frac{M - b + Nm}{1 + M}} \right\}, \quad (3)$$

где $\beta^* = \beta(1 - 4V_{\text{с}}^2/3V_{\text{п}}^2)$ — эффективный коэффициент теплового расширения поглощающей среды; β , $V_{\text{с}}$, $V_{\text{п}}$, χ — соответственно коэффициент теплового расширения, скорости сдвиговой и продольной волн, температуропроводность, $\omega_{\text{т}} = \mu_{\text{а}}^2 \chi$, $\omega_{\text{а}} = \mu_{\text{а}}^2 V_{\text{п}}$ — характерные частоты, на которых волновой вектор тепловой и акустической волн равен коэффициенту поглощения света в поглощающей среде; $m = \omega_{\text{т}}/\omega_{\text{а}}$; $N = \rho_0 V_{\text{п}} / \rho_{0\text{тр}} V_{\text{птр}}$ — отношение акустических импедансов (волновых сопротивлений) поглощающей и прозрачной (tr) сред; $M = \rho_0 c_{\text{т}} \sqrt{\chi} / \rho_{0\text{тр}} c_{\text{тр}} \sqrt{\chi_{\text{тр}}}$ — отношение тепловых потоков в поглощающую и прозрачную среду, $c_{\text{т}}$ — скорость теплового потока; b характеризует относительный вклад прозрачной среды в генерацию звука.

Из выражения (3) следует, что значения $K(\omega)$ сильно различаются в случае хорошо ($m \sim 1$) и плохо ($m \ll 1$) проводящих тепло сред, а также они сильно зависят от условий на границе поглощающей среды.

В случае хорошо проводящей тепло среды ($m \sim 1$, поверхностное поглощение) получим при акустически жесткой границе поглощающей среды ($\partial p' / \partial z|_{z=0} = 0$ или $N \ll 1$):

$$K(\omega) = \beta^* \frac{V_{\text{п}}}{c_{\text{т}}} \frac{1+b}{1+M}, \quad (4)$$

В случае плохо проводящей тепло среды ($m \ll 1$) получим в области частот $\omega > \omega_{\text{т}}$:

$$K(\omega) = \beta^* \frac{V_{\text{п}}}{c_{\text{т}}} \frac{1}{N+1} \frac{1-i\omega/\omega_{\text{а}}}{1+(\omega/\omega_{\text{а}})^2} \quad (5)$$

или при жесткой границе:

$$K(\omega) = \beta^* \frac{V_{\text{п}}}{c_{\text{т}}} \frac{1}{1+(\omega/\omega_{\text{а}})^2}. \quad (6)$$

Формулы (5)—(6) показывают, что в случае плохо проводящей тепло среды передаточная функция $K(\omega)$ зависит не только от теплофизических параметров среды, но и от коэффициентов поглощения и рассеяния света.

Для сред с известными оптическими характеристиками ОА-эффект можно применить при создании источников мощных акустических сигналов с известными амплитудой и частотным спектром [3].

Таким образом, используя термооптические источники ультразвука, возможно возбуждать мощные широкополосные акустические импульсы. Методы ультразвуковых измерений, основанные на ОА-эффекте, во многих случаях будут обладать рядом преимуществ по сравнению с методами, использующими традиционные пьезопреобразователи.

Изменение профилей оптико-акустических сигналов. Метод передаточных функций позволяет определить спектр ОА-сигнала. Однако такой подход может быть применен только в том случае, когда дифракционные, нелинейные и диссипативные явления проявляются слабо в зоне генерации, т.е.

$$\mu_{\text{а}} L_{\text{д}}, \mu_{\text{а}} L_{\text{н}}, \mu_{\text{а}} L_{\text{з}} \gg 1, \quad (7)$$

где $L_{\text{д}}, L_{\text{н}}, L_{\text{з}}$ — соответственно характерная длина дифракции, нелинейности и затухания (диссипации) звука. Соотношения (7) позволяют анализировать тепловое возбуждение звука поэтапно: 1) рассматривается задача о тепловом возбуждении звука в отсутствие дифракционных, нелинейных и диссипативных эффектов; 2) рассматривается эволюция профиля ОА-импульса в нелинейной диссипативной среде при ограниченных поперечных размерах пучка [4] и с учетом геометрически сложных ограниченных областей распространения в поглощающей среде.

Уравнение, описывающее такую эволюцию волны (Хохлова—Заболотской—Кузнецова [5]), с учетом геометрически сложной области распространения волны в поглощающей среде, может быть записано в виде:

$$\frac{\partial}{\partial \tau} \left(\frac{\partial p'}{\partial z} - \frac{\varepsilon}{\rho_0 V_{\text{п}}^3} p' \frac{\partial p'}{\partial \tau} - \frac{b_3}{2 \rho_0 V_{\text{п}}^3} \frac{\partial^2 p'}{\partial \tau^2} \right) = \frac{V_L}{2} \Delta_{\perp} p', \quad (8)$$

где ε — нелинейный акустический параметр поглощающей среды, b_3 — коэффициент диссипации.

Аналитические результаты решения (8) могут быть получены в случае существенного различия в масштабах проявления отдельных эффектов. При распространении ультразвука в твердых телах влияние нелинейных искажений на профиль ОА-сигнала существенно слабее,

чем влияние диссипации и дифракции [3]. Применительно к тонкостенным изделиям наиболее интересным в рассматриваемой задаче является влияние дифракции.

При термооптическом возбуждении звука на поверхности поглощающей среды в точке $z=0$ радиус акустического пучка совпадает с радиусом лазерного пучка a_0 . В зависимости от соотношения радиуса пучка a_0 и глубины проникновения света μ_a^{-1} фазовый фронт акустической волны может быть близким к плоскому ($a_0 \mu_a \gg 1$), цилиндрическому ($a_0 \mu_a \ll 1$) или сферическому ($a_0 \mu_a \sim 1$).

В случае цилиндрического и сферического фазового фронта профиль оптико-акустического сигнала не изменяется при распространении. Если исходно фронт волны близок к плоскому, то ситуация несколько сложнее. При $z \neq 0$ $L_d = \pi a_0^2 / \lambda$ (λ — длина звуковой волны) пучок расплывается (поперечное сечение увеличивается в два раза) за счет дифракции [6]; при $z \geq 3L_d$ фронт волны становится близким к сферическому. Отличительной особенностью оптико-акустических сигналов является широкий диапазон содержащихся в них частот, поэтому длина волны гармонических составляющих сигнала изменяется в широких пределах и соответственно длина дифракции L_d отдельных гармоник существенно различается. Низкочастотные составляющие спектра дифрагируют быстрее высокочастотных (на меньших расстояниях). В то же время для достижения высокого пространственного разрешения необходимо принимать сигнал в возможно более широкой полосе частот. Поэтому наиболее целесообразно регистрировать акустическую волну, распространяющуюся по нормали к границе поглощающей среды.

Если для всех гармоник ОА-сигнала $L_d \ll L_3$, то соотношение (8) сводится к параболическому уравнению теории дифракции [3, 7]:

$$\frac{\partial^2 p'}{\partial \tau \partial z} = \frac{c}{2} \Delta_{\perp} p'. \quad (9)$$

Считая поперечное распределение интенсивности света в пучке гауссовым, граничное условие задачи дифракции можно записать в виде:

$$p'(z=0, \tau, \mathbf{r}_{\perp}) = p_0(\tau) \exp\left(-\frac{\mathbf{r}_{\perp}^2}{a_0^2}\right), \quad (10)$$

где $p_0(\tau) = p'(\tau, z=0)$ — профиль волны на границе поглощающей среды. При распространении импульса для каждой из гармонических составляющих в (10) гауссово поперечное распределение сохраняется и решение может быть записано в виде:

$$p'(z, \tau, \mathbf{r}_{\perp}) = \int_{-\infty}^{\infty} p_0(t) dt \left[\frac{1}{2\pi} \int_{-\infty}^{\infty} \exp\left(-i\omega(\tau-t) - \frac{\mathbf{r}_{\perp}^2}{a_0^2} \frac{\omega}{\omega + i \frac{2c_0 z}{a_0^2}}\right) \left(\omega + i \frac{2c_0 z}{a_0^2}\right)^{-1} \omega d\omega \right]. \quad (11)$$

На оси пучка ($\mathbf{r}_{\perp} = 0$) решение (11) может быть упрощено:

$$p'(z, \tau, \mathbf{r}_{\perp} = 0) = p_0(\tau) - \int_{-\infty}^{\tau} \omega_D \exp(-\omega_D(\tau-t)) p_0(t) dt, \quad (12)$$

где $\omega_D = 2V_{\Pi} z / a_0^2$. Характерная частота ω_D растет с увеличением z и с уменьшением площади поперечного сечения пучка. В дальней волновой зоне ($\omega_D / \mu_a V_{\Pi} \gg 1$, $z \rightarrow \infty$) решение (12) переходит в

$$p'(z, \tau, \mathbf{r}_\perp = 0) = \frac{a_0^2}{2c_0 z} \frac{dp_0}{d\tau}. \quad (13)$$

Как видно из (13), в дальней зоне профиль волны переходит в производную профиля на границе и его амплитуда убывает обратно пропорционально пройденному волной расстоянию.

Для случая однородного поглощения света ($\mu_a = \text{const}$) и короткого лазерного импульса ($\mu_a V_\Pi \tau_\Pi \ll 1$) интеграл (12) можно выразить в элементарных функциях:

$$p'_r(\tau) = \frac{\mu_a \beta^* E_0 c_0^2}{2C_p} \begin{cases} \frac{\exp(\omega_a \tau)}{1+D}, & \tau < 0, \\ \frac{\exp(-\omega_a \tau)}{D-1} - \frac{2D \exp(-\omega_d \tau)}{D^2 - 1}, & \tau > 0, \end{cases} \quad (14)$$

где $\omega_a = \mu_a V_\Pi$ — характерная частота спектра оптико-акустического сигнала, $D = \omega_d / \omega_a = 2z / \mu_a a_0^2$ — безразмерное расстояние, выраженное в длинах дифракции $L_d = \mu_a a_0^2 / 2$ на частоте ω_a . В общем случае конечного значения N решение может быть выражено через представленные решения $p'_r(\tau)$ и $p'_f(\tau)$:

$$p'(\tau) = \frac{1}{1+N} (p'_r(\tau) + N p'_f(\tau)). \quad (15)$$

При $\tau > 0$ сигнал представляет собой разность двух экспонент с показателями, определяемыми коэффициентом поглощения света и частотой дифракции. В зависимости от величины D каждая из них проявляется либо при малых, либо при больших значениях τ . На малых расстояниях ($D \ll 1$) при малых τ профиль ОА-сигнала определяется поглощением света, а дифракционная составляющая будет существенной только при $\omega_a \tau > 3-5$. В случае $D \geq 3$, наоборот, при малых τ ($\omega_d \tau < 1-2$) сигнал изменяется по экспоненте с показателем ω_d , а при $\omega_a \tau \geq 1$ — с показателем ω_a .

Дифракционная трансформация оптико-акустических сигналов для различных значений D ($1 - 0; 2 - 0,1; 3 - 0,5; 4 - 1,5$) приведена на рис. 2.

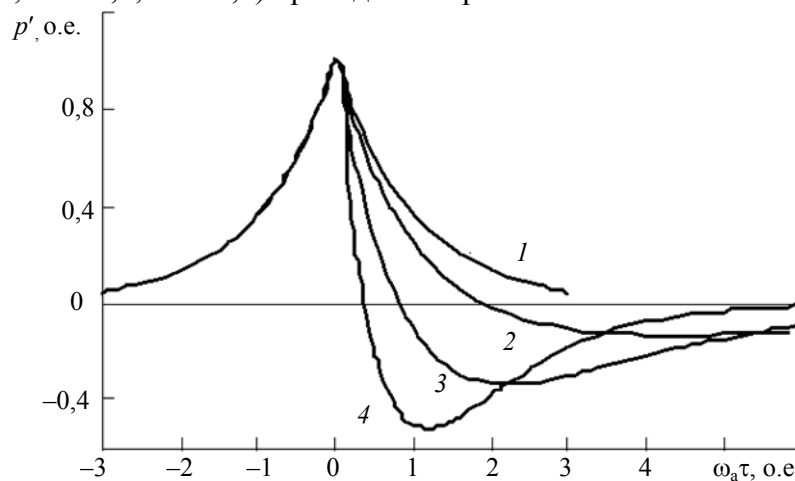


Рис. 2

Первоначально симметричный импульс сжатия по мере распространения (увеличения значения D) приобретает вид следующих друг за другом импульсов сжатия и разрежения. Как видно, даже на достаточно малых расстояниях ($D \cong 0,1$) фаза разрежения проявляется весьма заметно.

На малых расстояниях или при достаточно большом поглощении света ($D \ll 1$) спад сигнала (3) сначала соответствует экспоненте с показателем ω_a (1) (при $\omega_a \tau_{tr} \leq 1-2$), а в дальнейшем — экспоненте с показателем ω_d (2) ($\omega_d \tau_{tr} \geq 1$). При переходе в дальнюю зону или при слабом поглощении света ($D > 1$) картина меняется на обратную. При $D \gg 1$ ОА-сигнал будет состоять из короткого импульса длительностью $\approx \omega_d^{-1}$.

Таким образом, поэтапный подход позволяет рассчитать форму ОА-сигнала, возбуждаемого в поглощающей среде, и проанализировать дифракционные искажения импульса при распространении в исследуемой среде, а также учесть геометрические особенности, влияющие на трансформацию сигнала. Данный анализ позволяет сделать вывод о применимости метода лазерно-ультразвуковой дефектоскопии с термооптическим возбуждением звука для контроля сложных соединений.

СПИСОК ЛИТЕРАТУРЫ

1. *Карабутов А. А., Матросов М. П., Подымова Н. Б., Пыж В. А.* Импульсная акустическая спектроскопия с лазерным источником звука // Акуст. журн. 1991. Т. 37(2). С. 311.
2. *Карабутов А. А., Матросов М. П., Подымова Н. Б.* Термооптический генератор широкополосных импульсов сдвиговых волн // Акуст. журн. 1993. Т. 39(2). С. 373.
3. *Гусев В. Э., Карабутов А. А.* Лазерная оптоакустика. М.: Наука, 1991. 304 с.
4. *Ахманов С. А., Руденко О. В.* Параметрический лазерный излучатель ультразвука // Письма в ЖТФ. 1975. Т. 1(15). С. 725.
5. *Бахвалов Н. С., Жилейкин Я. М., Заболоцкая Е. А.* Нелинейная теория звуковых пучков. М.: Наука, 1982. 176 с.
6. *Виноградова М. Б., Руденко О. В., Сухоруков А. П.* Теория волн. М.: Наука, 1990. 432 с.
7. *Новиков Б. К., Руденко О. В., Тимошенко В. И.* Нелинейная гидроакустика. Л.: Судостроение, 1981.

Сведения об авторе

Игорь Юрьевич Кинжагулов — аспирант; Санкт-Петербургский государственный университет информационных технологий, механики и оптики, кафедра измерительных технологий и компьютерной томографии; E-mail: kinzhiki@mail.ru

Рекомендована кафедрой
измерительных технологий
и компьютерной томографии

Поступила в редакцию
01.03.11 г.